



کنترل ردیابی شبکه‌ی عصبی موجک تطبیقی یک ربات تک لینک با ورودی لقی

سپیده عیسی پور^۱, ابوالفضل رنجبر نوعی^۲, سید جلیل ساداتی رستمی^{۳*}

۱- کارشناسی ارشد، مهندسی برق، دانشگاه صنعتی نوشیروانی، بابل

۲- استاد مهندسی برق، دانشگاه صنعتی نوشیروانی، بابل

۳- استادیار، مهندسی برق، دانشگاه صنعتی نوشیروانی، بابل

* بابل، مشنوق پستی ۴۷۱۴۸-۷۱۱۶۷ j.sadati@nit.ac.ir

است.

در مطالعه حاضر برای اولین بار کنترل کننده تطبیقی ریدیابی برای کلاسی از سیستم‌های زمان گستته غیرخطی با ورودی لقی مورد مطالعه قرار می‌گیرد که در آن از شبکه عصبی موجک برای تقریب توابع ناشناخته و اغتشاش موجود در سیستم استفاده می‌شود. همچنین این نوع از سیستم غیر خطی زمان گستته با پسخورد اکید، حالت کلی تری نسبت به سیستم های مورد مطالعه در آثار پیشین دارد از طرفی با حضور ورودی لقی زمان های موجود در سیستم، طراحی کنترل پیچیده‌تر از فرم زمان پیوسته می‌باشد. گستته در سیستم، طراحی کنترل پیچیده‌تر از فرم زمان پیوسته می‌باشد. برای غلبه بر موانع طراحی کنترل، سیستم به یک پیش‌بین π گام پیشرو تبدیل می‌شود. ولی سیستم تبدیل یافته همچنان ساختار پسخورد اکید خود را حفظ می‌کند. برای آنالیز پایداری سیستم‌ها از توابع لیاپاتوف استفاده می‌شود. به منظور بررسی اثر روش ارائه شده، یک نمونه شبیه سازی بر سیستم روبات با یک بازوی مکانیکی انجام می‌شود.

2- مسئله و فرمول

در این مقاله کلاسی از سیستم غیرخطی زمان گستته با ورودی لقی به صورت زیر در نظر گرفته شده است [28]:

$$\begin{cases} x_i(k+1) = F_i(\bar{x}_i(k), x_{i+1}(k)), i = 1, \dots, n-1, \\ x_n(k+1) = F_n(\bar{x}_n(k), B(v(k)), d(k)) \\ y(k) = x_1(k) \end{cases} \quad (1)$$

که $v(k) \in R$, $\bar{x}_i(k) = [x_1(k), \dots, x_i(k)]^T \in R^I$, $i = 1, \dots, n$ و $y(k) \in R$ به ترتیب متغیرهای حالت، ورودی و خروجی هستند. $F_i(\dots), i = 1, \dots, n-1$ و $F_n(\dots)$ دینامیک‌های غیرخطی ناشناخته هستند، $d(k)$ اغتشاش کراندار ناشناخته است به طوری که $\|d(k)\| \leq d_m$ و $u(k+1) = B(v(k))$ ورودی غیرخطی لقی می‌باشد.

$$\begin{cases} u(k+1) = B(v(k)) \\ = \begin{cases} m_l(v(k+1) - b_l) & v(k+1) \leq v_l \\ m_r(v(k+1) - b_r) & v(k+1) \geq v_r \\ u(k) & v_l < v(k+1) < v_r \end{cases} \end{cases} \quad (2)$$

در رابطه فوق m_l و m_r به ترتیب دامنه‌های چپ و راست، $b_l < 0$ و $b_r > 0$ می‌باشد و همچنین $v_r = v(k)/m_r + b_r$ و $v_l = v(k)/m_l + b_l$. [39]

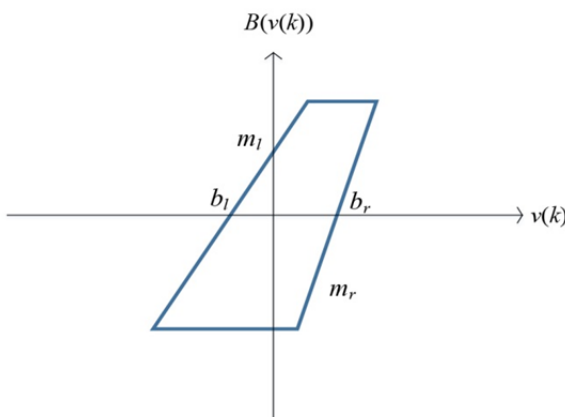


Fig. 1 Visualization of asymmetric actuator backlash.

شکل 1 تصویر محرک لقی نامتقارن

عملکرد صحیح در بسیاری از کاربردها مانند ابزار قطار دندۀ دیفرانسیل¹ و سرومکانیزم²، لازم است که لقی به طور کامل حذف شود. بسیاری از راه حل‌های مکانیکی برای غلبه بر لقی از جمله تقسیم فنری شکاف دندۀ و سیستم‌های موتور دوگانه ارائه شده است. این راه حل‌های مکانیکی می‌تواند مشکلات لقی را حل کند ولی باعث ایجاد مشکلات دیگری مانند کاهش دقت، کاهش پهنای باند و افزایش وزن سیستم شده و نیز پرهزینه و انرژی بر می‌باشند به همین دلیل طرح جبران لقی بدون استفاده از ابزار مکانیکی، مناسب‌تر است [2].

در اغلب برنامه‌های کاربردی پارامترهای لقی یا به صورت ضعیف شناخته شده و یا کاملاً ناشناخته هستند که چالشی برای مهندسین طراحی کنترل می‌باشد. برای اولین بار روش کنترل تطبیقی برای حذف اثر لقی با استفاده از معکوس آن، در [3] ارائه شد. در [4] کنترل تطبیقی مقاوم برای نوعی از سیستم‌های غیرخطی با ورودی لقی مورد بررسی قرار گرفت همچنین در نتایج مطالعه [5] کنترل تطبیقی گام به عقب برای سیستم‌های غیرخطی با ورودی لقی پیشنهاد شده است. طی سال‌های اخیر طراحی کنترل تطبیقی برای سیستم‌های غیرخطی با توابع ناشناخته با استفاده از شبکه‌های عصبی و منطق فازی توجه زیادی را به خود معطوف کرده است. در آثار [6]-[9] شبکه‌های عصبی و سیستم‌های فازی در تقریب توابع غیرخطی ناشناخته در سیستم‌های تک ورودی- تک خروجی³ مورد استفاده قرار گرفته است. کنترل تطبیقی عصبی برای سیستم‌های غیرخطی چند ورودی- چند خروجی⁴ با ساختار مثلثی و سیستم پاندول معکوس با دینامیک ناشناخته ارائه شده است [10-12]. کنترل کننده‌ی تطبیقی با استفاده از شبکه عصبی و منطق فازی برای سیستم‌های غیرخطی با ورودی منطقه‌ی مرده [13-15]، اشاعر [16]، پسماند [19-21] و لقی [24-22] ارائه شده است. همچنین در بسیاری از مطالعات اخیر، طراحی کنترل کننده تطبیقی عصبی فازی برای سیستم بازوی مکانیکی روبات با غیرخطی منطقه مرده و لقی مورد توجه قرار گرفته است برای مثال کنترل مقاوم تطبیقی فازی غیرمت مرکز برای سیستم بازوی مکانیکی روبات انسانی با غیرخطی لقی در [25] و کنترل تطبیقی شبکه عصبی برای سیستم بازوی مکانیکی روبات با ورودی منطقه مرده در [26] طراحی شد. شبکه‌های عصبی موجک یک شبکه سه لایه است که به دلیل مزیت آن بر شبکه عصبی RBF به عنوان تقریب‌گر عمومی و همچنین بدليل سرعت همگرایی بالا برای تقریب توابع ناشناخته در سیستم‌ها استفاده می‌شود [27]. برای مثال یک کنترل کننده تطبیقی برای سیستم‌های غیرخطی روباتیک با استفاده از شبکه عصبی موجک در [28] طراحی شده است. کنترل کننده تطبیقی مقاوم و کنترل کننده تطبیقی شبکه عصبی با استفاده از الگوریتم بت برای سیستم روبات با بازوی متحرک ارائه شده است [30,29].

روش‌های ارائه شده در مطالعات فوق برای سیستم‌های غیرخطی زمان پیوسته پیشنهاد شده و نمی‌توان آن‌ها را بر سیستم‌های زمان گستته اعمال نمود. روش‌های کنترل تطبیقی پیشین برای سیستم‌های غیرخطی زمان گستته تک ورودی- تک خروجی³ [33-31] و چند ورودی- چند خروجی⁴ مورد مطالعه قرار گرفته است همچنین کنترل کننده‌های عصبی و فازی برای حل مشکل پایداری سیستم‌های زمان گستته با ورودی‌های غیرخطی ناهموار منطقه مرده [35]، هیسترزیس [36] و لقی [37-39] طراحی شده

¹ instrument differential gear trains

² Servo mechanism

³ Single input-single output (SISO)

⁴ Multi Input-Multi Output(MIMO)

انتخاب پیش رو وجود ندارد [27]. در این مقاله از تابع کلاه مکزیکی به عنوان ویولت مادر استفاده می‌گردد.

4- تبدیل سیستم

براساس نتایج پیشین در [33] سیستم پیش‌بینی به صورت رابطه (8) به دست می‌آید.

$$\left\{ \begin{array}{l} x_1(k+n) = \omega_{1,1}(\varphi_{n-1,1}(\bar{x}_n(k)) + x_2(k+n-1)) \\ x_2(k+n) = \omega_{1,2}(\varphi_{n-2,2}(\bar{x}_n(k)) + x_3(k+n-1)) \\ \vdots \\ x_n(k+1) = \omega_{1,n}(\bar{x}_n(k), u(k), d(k)) \\ y(k+n) = x_1(k+n) \end{array} \right. \quad (8)$$

که در آن:

$$\omega_{1,i}(\bar{x}_{i+1}(k)) = F_i(\bar{x}_i(k), x_{i+1}(k)) \quad (9)$$

$$\omega_{1,n}(\bar{x}_n(k), u(k), d(k)) = F_n(\bar{x}_n(k), u(k), d(k)) \quad (10)$$

$$\varphi_{n-i,i}(\bar{x}_i(k)) = \bar{x}_i(k+n-i), i = 1, \dots, n-1. \quad (11)$$

با جایگایی (1) در معادله اول از (8) با سمت راست از معادله دوم داریم:

$$\begin{aligned} x_1(k+n) \\ = \omega_{1,1}\left(\varphi_{n-1,1}(\bar{x}_n(k)), \omega_{1,2}\left(\varphi_{n-2,2}(\bar{x}_n(k)), x_3(k+n-2)\right)\right) \end{aligned} \quad (12)$$

و در ادامه با جایه جایی (1) معادله بالا با معادله زام در (8)، $j = 3, \dots, n-1$ -تا زمانی که $v(k)$ در مرحله‌ی قبل حضور دارد؛ می‌توان به صورت زیر به دست آورد:

$$y(k+n) = x_1(k+n) = \omega(\bar{x}_n(k), u(k), d(k)) \quad (13)$$

به صورتی که:

$$\begin{aligned} \omega(\cdot) &= \omega_{1,1}(\varphi_{n-1,1}(\bar{x}_n(k)), \omega_{1,2}(\varphi_{n-1,1}(\bar{x}_n(k))), \\ &\quad \omega_{1,3}(\dots, \omega_{1,n}(\bar{x}_n(k), u(k), d(k)) \dots))) \end{aligned} \quad (14)$$

معادله (12) می‌تواند به صورت (15) (تعریف شود):

$$y(k+n) = \omega_s(\bar{x}_n(k), u(k)) + d_s(k) \quad (15)$$

به طوری که

$$\begin{aligned} d_s(k) &= \omega_s(\bar{x}_n(k), u(k)) + d(k) \\ &\quad - \omega(\bar{x}_n(k), u(k), 0) \end{aligned} \quad (16)$$

$$\omega_s(\bar{x}_n(k), u(k)) = \omega(\bar{x}_n(k), u(k), 0) \quad (17)$$

از تعریف (.) ω می‌دانیم که (.) شرط فرض ۱ که همان شرط لیپشیتز می‌باشد را جبران می‌کند. بنابراین ثابت L_d وجود دارد به طوری که

$$\begin{aligned} |\omega(\bar{x}_n(k), u(k), d(k)) - \omega(\bar{x}_n(k), u(k), 0)| \\ \leq L_d |d(k)| \end{aligned} \quad (18)$$

داریم

$$|d_s(k)| \leq L_d |d(k)| \leq L_d d_M \quad (19)$$

فرض ۳: تابع $F_n(\cdot, 0, \cdot)$ و $F_i(\cdot, 0, \cdot)$ ، $i = 1, \dots, n-1$ تابع لیپشیتز هستند. از فرض ۲ می‌توان رابطه‌ی (20) را بدست آورد [33]:

$$\partial \omega_{1,i}(\bar{x}_{i+1}(k)) / \partial x_{i+1}(k) = h_i(\cdot) > 0 \quad (20)$$

براساس (8) و (19) می‌توان به رابطه (21) رسید:

یادآوری ۱: بسیاری از سیستم‌های فیزیکی مانند بازوی مکانیکی روبات تک لینک، سیستم مخزن راکتور شیمیابی، سیستم آونگ معکوس، سیستم اهرم توخالی وغیره به فرم (1) مدل می‌شوند [23].

یادآوری ۲: در بسیاری از آثار پیشین، برای سهولت در طراحی کنترل، محرك لقی به شکل متقارن در نظر گرفته شده است در حالی که در سیستم‌های فیزیکی رفتار این غیرخطی همواره از مدل ایده‌آل حاصل نمی‌شود بنابراین در این مقاله، لقی به شکل غیرمتقارن فرض شده است. هدف از طراحی این کنترل کننده عصبی عبارتند از:

۱- همه سیگنال‌های موجود در سیستم حلقه بسته کران دار شوند.

۲- خروجی $y(k)$ بتواند مسیر مرجع $y_d(k)$ را دنبال کند.

برای رسیدن به هدف کنترل، فرض زیر را در نظر می‌گیریم:

فرض ۱: تابع $F_i(\cdot, 0, \cdot)$ ، $i = 1, \dots, n-1$ تابع لیپشیتز هستند [27].

تابع $f(x)$ شرایط لیپشیتز از مرتبه‌ی α در $x=0$ را برآورده می‌نماید اگر:

$$|f(x) - f(0)| \leq M|x|^\alpha \quad (3)$$

برای تمامی $0 \leq \alpha \leq 1$ مستقل از h بوده و M ثابت لیپشیتز نامیده می‌شود.

فرض ۲: فرض‌های ثابتی وجود دارد که $\underline{h}_i \leq |h_i(\cdot)| \leq \bar{h}_i$ و $\underline{h}_i > 0$ باشد و \bar{h}_i که در آن:

$$h_i(\bar{x}_i(k), x_{i+1}(k)) = \frac{\partial F_i(\bar{x}_i(k), x_{i+1}(k))}{\partial x_{i+1}(k)} \quad (4)$$

$$h_n(\bar{x}_n(k), u(k), d(k)) = \frac{\partial F_n(\bar{x}_n(k), u(k), d(k))}{\partial u(k)} \quad (5)$$

فرض ۲ بیان می‌دارد که $h_i(\cdot, i = 1, \dots, n)$ اکیداً مشیت یا منفی می‌باشد. بدون از دست دادن کلیت، فرض می‌شود که $h_i(\cdot, i = 1, \dots, n)$

3- شبکه عصبی ویولت

براساس ویژگی‌های شبکه عصبی ویولت، هر تابع زمان گستته $g(X) = \sigma^T(X)\theta^* + \varepsilon^*(X)$ را می‌توان به صورت $\sigma(X) = [\sigma_1(X), \dots, \sigma_\lambda(X)]$ ویولت چند بعدی است که از ضرب m ویولت اسکالار تشکیل شده است. X بردار ورودی، m تعداد ورودی‌های شبکه، λ تعداد واحدهای پنهان، θ^* بردار وزنی شبکه، $\varepsilon^*(X)$ خطای تقریب می‌باشد و داریم $|\varepsilon^*(X)| \leq \epsilon$.

ویولت چند بعدی به صورت عبارت (6) محاسبه می‌شود:

$$\sigma_j(X) = \prod_{i=1}^m \psi(\tau_{ij}) \quad (6)$$

که ویولت مادر با تعریف فاکتورهای انتقال π_{ij} به فرم (7) است.

$$\tau_{ij} = \frac{x_i - \pi_{ij}}{\mu_{ij}} \quad (7)$$

در رابطه بالا $i = 1, \dots, m$ ، $j = 1, \dots, \lambda$ شامل فاکتورهای انتقال π_{ij} با مقایس μ_{ij} می‌باشد. سه ویولت مادر به شرح زیر پیشنهاد می‌گردند:

$$\psi(\tau_{ij}) = \tau_{ij} e^{(1/2)\tau_{ij}^2} \quad -مشتق گوسین:$$

$$\psi(\tau_{ij}) = (1 - \tau_{ij}^2) e^{-(1/2)\tau_{ij}^2} \quad -ویولت کلاه مکزیکی:$$

$$\psi(\tau_{ij}) = e^{-(1/2)\tau_{ij}^2} \cos 5\tau_{ij} \quad -ویولت مورلت:$$

ویولت‌های مادر براساس کاربردها انتخاب می‌شوند و هیچ محدودیتی برای

¹ Lipschitz

$$v(k) = \beta(k)z(k) + \hat{\eta}(k) + \bar{v}(k) \quad (32)$$

که $|\beta(k)| \leq \bar{\beta} < 1$ و $\bar{v}(k) = \sigma^T(X(k))\hat{\theta}(k)$ فاکتور مقیاس و $\eta = \bar{d}/m$ می‌باشد. قرارمی‌دهیم $\hat{\eta}(k) = \hat{\eta}(k_1) - \eta$ با استفاده از (27) و (29) می‌توان معادله را به شکل زیر بازنویسی کرد:

$$\begin{aligned} z(k+1) &= H(k_1) + h_m(k_1)[\hat{\eta}(k_1) + \sigma^T(X(k_1))\hat{\theta}(k_1) \\ &\quad + \beta(k_1)z(k_1)] \end{aligned} \quad (33)$$

به طوری که $k_1 = k-n+1$

$$\begin{aligned} H(k_1) &= h_m(k_1)(\eta - \varepsilon(X(k_1))) + d_s(k_1) - h(k)b(k) \\ &\quad + |d(k)| \leq \bar{d} \end{aligned}$$

طبقاً فرض 2 و کران داری تقریب خطای داریم:

$$|H(K_1)| \leq \bar{h}(2\bar{b} + m\bar{\varepsilon} + 1) + L_d d_M = \bar{H} \quad (34)$$

قوانين تطبیق را تعریف می‌کنیم:

$$\hat{\theta}(k+1) = \hat{\theta}(k_1) - [\gamma_\theta \hat{\theta}(k_1) + \alpha_\theta \sigma(X(k_1))z(k+1)] \quad (35)$$

$$\hat{\eta}(k+1) = \hat{\eta}(k_1) - [\alpha_\eta z(k+1) + \gamma_\eta \hat{\eta}(k_1)] \quad (36)$$

در روابط فوق $0 < \alpha_\theta, \alpha_\eta, \gamma_\theta, \gamma_\eta > 1$ پارامترهای طراحی هستند همچنین ثابت شده است که کرانداری همهٔ سیگنال‌ها در سیستم و ردیابی دقیق سیگنال مرجع به پارامترهای طراحی بستگی دارد [35].

برای تحقق اهداف این محدوده پارامترها عبارتند از: $\gamma_\theta, \gamma_\eta < 1$ و $0 < \alpha_\theta, \alpha_\eta < 1$

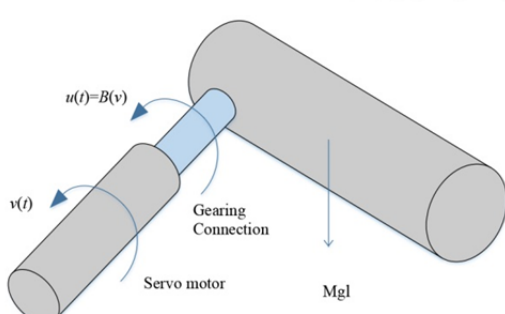
یادآوری 4: در نتایج پیشین بدون در نظر گرفتن غیرخطی ناهموار مانند لقی و منطقه مرده، قانون تطبیق فقط برای بهینه‌سازی وزن‌های شبکه‌ی عصبی طراحی شده است. بدلیل این که غیرخطی لقی در ورودی سیستم‌ها ظاهر شده است قانون تطبیق برای (1) $\hat{\eta}(k+1)$ در (36) برای جبران پارامترهای ناشناخته لقی طراحی شده است.

6- کاربرد در روبات با یک بازوی متحرک

در این بخش، روش ارائه شده در این مقاله، در کنترل سیستم غیرخطی و زمان‌گسسته روبات با یک بازوی متحرک با لقی به کار گرفته شده است که به صورت "شکل 2" نظر گرفته می‌شود. اتصال دنده‌ای آن با مدل پس‌زنی نامتقارن توصیف می‌شود همچنین دینامیک این سیستم به صورت عبارت (37) می‌باشد:

$$J\ddot{x} + D\dot{x} + MgL\sin(x) = B(v) \quad (37)$$

در رابطه بالا x و \dot{x} به ترتیب موقعیت و سرعت بازوی مکانیکی می‌باشد. J اینرسی چرخش موتور فرمانیار، D ضریب تعییل، M جرم جسم و L فاصله بین محور مفصل تا مرکز جسم است.



شکل 2 روبات با یک بازوی مکانیکی با اتصال چرخ دنده

$$0 < \underline{h} < \partial \omega_s(\bar{x}_n(k), u(k)) / \partial u(k) < \bar{h} \quad (21)$$

5- طراحی کننده پایدارساز

کنترل کننده برای (14) طراحی خواهد شد تعریف خطای ردیابی:

$$z(k) = y(k) - y_d(k) \quad (22)$$

پس داریم:

$$z(k+n) = y(k+n) - y_d(k+n) \quad (23)$$

از رابطه (25) بدست می‌آید:

$$\frac{\partial [\omega_s(\bar{x}_n(k), B(v(k))) - y_d(k+n)]}{\partial B(v(k))} = h(\cdot) > 0 \quad (24)$$

سیگنال ایده‌آل وجود دارد به طوری که

$$\omega_s(\bar{x}_n(k), B(v^*(k))) - y_d(k+n) = 0 \quad (25)$$

سیگنال ایده‌آل $D(v^*(k))$ را می‌توان به صورت رابطه (26) تقریب زد:

$$B(v^*(k)) = \sigma^T(X(k))\theta^* + \varepsilon(X(k)) \quad (26)$$

بردار ورودی شبکه عصبی، $\sigma(X(k)) \in R^L$ بردار تابع اساسی، $\varepsilon(X(k))$ خطای تقریب و $\theta^* \in R^l$ وزن ایده‌آل شبکه‌ی عصبی می‌باشد.

$\hat{\theta}(k) = \hat{\theta}(k) - \theta^*$ تخمین θ^* می‌باشد و $\hat{\theta}(k)$ تخمین خطای دسته است. با اضافه و کم کردن $\omega_s(\bar{x}_n(k), B(v^*(k)))$ در سمت راست (22) و با استفاده از (24) خواهیم داشت:

$$\begin{aligned} z(k+n) &= \omega_s(\bar{x}_n(k), B(v(k))) \\ &\quad - \omega_s(\bar{x}_n(k), B(v^*(k))) \end{aligned} \quad (27)$$

با استفاده از قضیه مقدار میانگین داریم:

$$\begin{aligned} z(k+n) &= \omega_s(\bar{x}_n(k), B(v(k))) \\ &\quad \times [B(v(k)) - B(v^*(k))] \\ &\quad + d_s(k) \end{aligned} \quad (28)$$

که:

$$\begin{aligned} B(v^c(k)) \\ \in [\min\{B(v^*(k)), B(v(k))\}, \max\{B(v^*(k)), B(v(k))\}] \end{aligned} \quad (29)$$

پادآوری 3: می‌توان از (12) مشاهده نمود که $h(\bar{x}_n(k), B(v^c(k)))$

شامل ترکیب غیرخطی از $(h(\bar{x}_n(k), B(v^c(k)))$ می‌باشد.) تابعی ذاتاً ناشناخته است. با وجود این ویژگی طراحی کننده تطبیقی عصبی مشکل می‌باشد. مشکلات اصلی این است که

$h(\bar{x}_n(k), B(v^c(k)))$ نمی‌تواند در دسته‌ی توابع ناشناخته‌ای که با شبکه‌ی عصبی تقریب زده می‌شود، ظاهر شود.

در ادامه برای راحتی عبارت $h(\bar{x}_n(k), B(v^c(k)))$ به کار $h(k)$ به کار می‌رود. با استفاده از (25) و (27) می‌توان نوشت:

$$\begin{aligned} z(k+n) &= h_m(k)v(k) - h(k)d(k) + d_s(k) \\ &\quad - h_m(k)[\sigma^T(X(k))\theta^* \\ &\quad + \varepsilon(X(k))] \end{aligned} \quad (30)$$

به طوری که $\underline{h}_m = \underline{mh}$ و $\bar{h}_m = \bar{mh}$ و $h_m(k) = h(k)m(k)$ باشد.

$$\begin{cases} \min(m_r, m_l) = \underline{m} \leq |m(k)| \leq \bar{m} = \max(m_r, m_l) \\ |b(k)| \leq \bar{b} = \max(m_r d_r, m_l d_l) \end{cases} \quad (31)$$

کنترل کننده $v(k)$ به صورت زیر تعریف شده است:

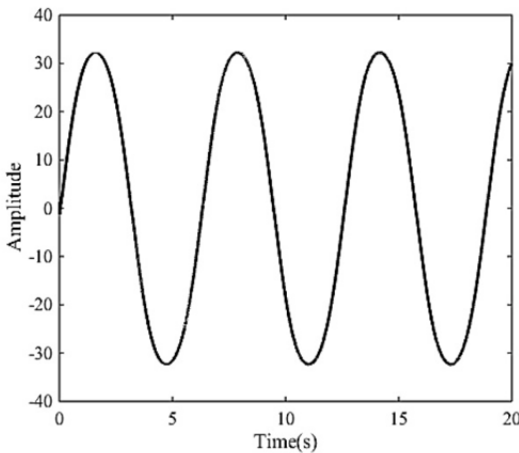
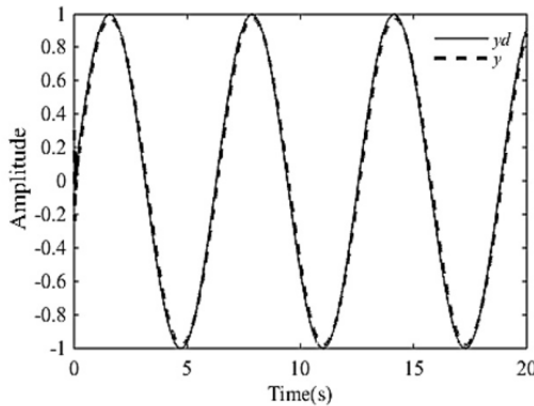
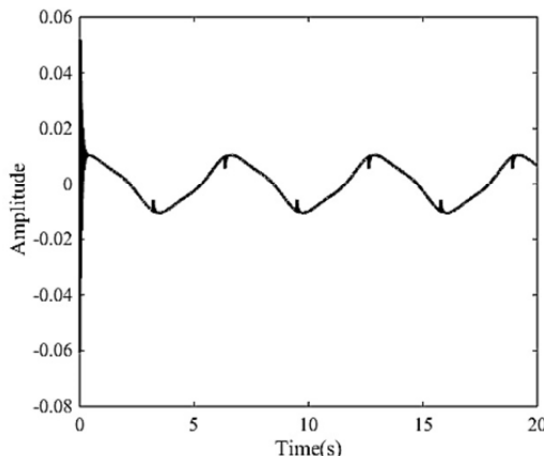
Fig. 3 Control signal $v(k)$ شکل 3 سیگنال کنترل ($v(k)$)Fig. 4 $y_d(k)$ (solid line) and $y(k)$ (dashed line)شکل 4 خروجی ($y(k)$) و ($y_d(k)$) (خط ممتد و خط چین)

Fig. 5 Tracking error

شکل 5 خطای ردیابی

در "شکل‌های 6، 7 و 8" می‌توان مشاهده نمود قوانین تطبیق ($\hat{\theta}(k)$ و $\hat{\eta}(k)$) و متغیر حالت ($x_2(k)$) کران‌دار هستند. نتیجه می‌شود که اهداف کنترل کننده تطبیقی با استفاده از شبکه عصبی موجک بر سیستم روبات با یک بازوی مکانیکی برآورده شده است.

مدل بالا را با روش اویلر با دوره‌ی نمونه‌برداری $T_s = 0.05$ به صورت رابطه (38) گسترش‌سازی می‌کنیم:

$$\begin{cases} x_1(k+1) = x_1(k) + x_2(k) * 0.05 \\ x_2(k+1) = x_2(k) + \left(\frac{1}{J}\right) * \\ \quad \left(B(v) - M * g * L * \sin(x_1(k)) - D * x_2(k)\right) \\ \quad * 0.05 \\ y(k) = x_1(k) \end{cases} \quad (38)$$

می‌باشد. شرایط اولیه برای متغیر حالت به این صورت انتخاب می‌شود $x_1(0) = 0.3, x_2(0) = 0.1$

همچنین مقادیر شبیه سازی شده این صورت مشخص شده است: $g = D = 2, M = 2, J = 1, m_L = 1.1, b_L = -0.3, b_r = 0.2, m_r = 1$

هدف از طراحی کننده تطبیقی در این سیستم این است که اولاً خروجی $y(k)$ سیگنال مرجع ($y_d(k) = \sin(k)$) را از نزدیک دنبال کند دوماً، تمام سیگنال‌ها در سیستم حلقه بسته پایدار شود.

حال کنترل کننده تعریف می‌شود:

$$v(k) = \beta(k)z(k) + \hat{\eta}(k) + \bar{v}(k) \quad (39)$$

$$\bar{v}(k) = \sigma^T(X(k))\hat{\theta}(k) \quad (40)$$

$$X(k) = [x_1(k), x_2(k), y_d(k+2)]^T \quad (41)$$

$$z(k) = y(k) - y_d(k) \quad (42)$$

قواعد تطبیق عبارتند از:

$$\hat{\theta}(k+1) = \hat{\theta}(k) - [\gamma_\theta \hat{\theta}(k) + \alpha_\theta \sigma(X(k))z(k+1)] \quad (43)$$

$$\hat{\eta}(k+1) = \hat{\eta}(k) - [\alpha_\eta z(k+1) + \gamma_\eta \hat{\eta}(k)] \quad (44)$$

مقادیر ورودی قانون تطبیق برابر است با $0 = \hat{\theta}(0)$ و $0.1 = \hat{\eta}(0)$

پارامترهای طراحی عبارتند از:

$$\alpha_\theta = 0.2I, \alpha_\eta = 0.3, \gamma_\theta = 0.02, \gamma_\eta = 0.02, \beta(k) = 0.1 \quad (45)$$

در مطالعات شبیه سازی، مراکز و عرض بر روی یک شبکه منظم در مجموعه‌ی فشرده انتخاب می‌شوند. شبکه‌ی عصبی شامل 25 گره با مرکز π_{ij} که به طور یکنواخت در فضای $[-2, 2] \times [-2.5, 2.5]$ است و عرض μ_{ij} برابر 5 است.

در "شکل‌های 8-3" نتایج شبیه‌سازی حاصل از اعمال کنترل کننده در "شکل 3" طبق رابطه (39) به سیستم روبات با یک بازوی متحرک مشاهده می‌شود.

دیده می‌شود که سیگنال کنترلی، سیگنالی کراندار و پایدار می‌باشد. "شکل 4" خط مسیر $y(k)$ و $y_d(k)$ که به ترتیب معرف خروجی سیستم و سیگنال مرجع می‌باشند را در اثر اعمال $v(k)$ نشان می‌دهد.

در "شکل 4" می‌توان مشاهده نمود که خروجی سیستم غیرخطی و زمان گسیسته، به خوبی مسیر سیگنال مرجع معروف شده را دنبال می‌کند یعنی عمل ردیابی به درستی انجام شده و خطای آن طبق "شکل 5" به صفر همگرا می‌گردد.

(38) اعمال شده و نتایج حاصل از این دو روش، با نتایج بدست آمده در بخش قبلی، مورد مقایسه قرار گرفته است.

در این بخش، به منظور اعتبارسنجی شبیه‌سازی کنترل کننده پیشنهادی، دو کنترل کننده PID³ و مد لغزشی⁴، بر سیستم روبات با یک بازوی مکانیکی (38) اعمال شده و نتایج حاصل از این دو روش، با نتایج بدست آمده در بخش قبلی، مورد مقایسه قرار گرفته است.

برای مقایسه دقت ردیابی دو کنترل کننده PID و مدل‌لغزشی با کنترل کننده تطبیقی عصبی بررسی شده در مقاله، "شکل‌های 9 و 10" به ترتیب نشان‌دهنده مسیر ردیابی و خطای آن در هر سه روش می‌باشد.

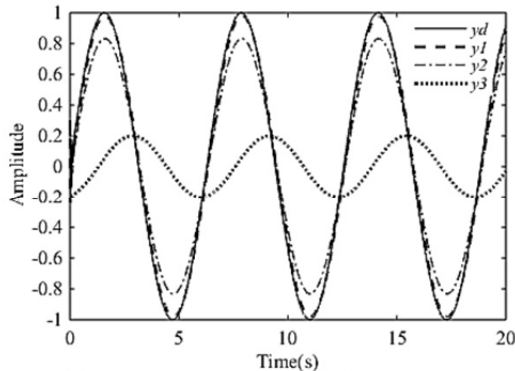


Fig. 9 $y_d(k)$ is the reference signal and $y(k)$, $y_1(k)$, $y_2(k)$ are out put of $v(k)$, PID and sliding mode controller, respectively.

شکل 9 سیگنال مرجع و $y_d(k)$ به ترتیب خروجی کنترل کننده‌های PID، $v(k)$ و مدل‌لغزشی

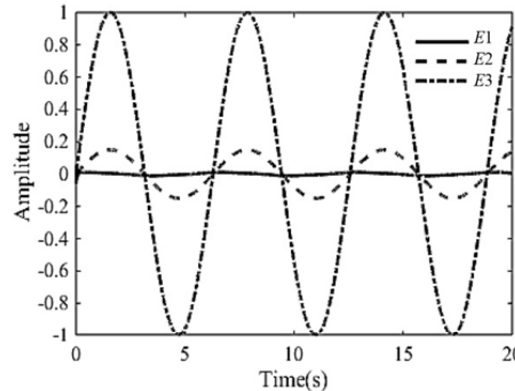
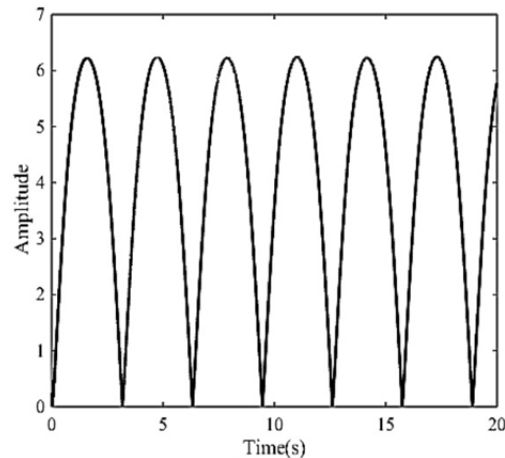


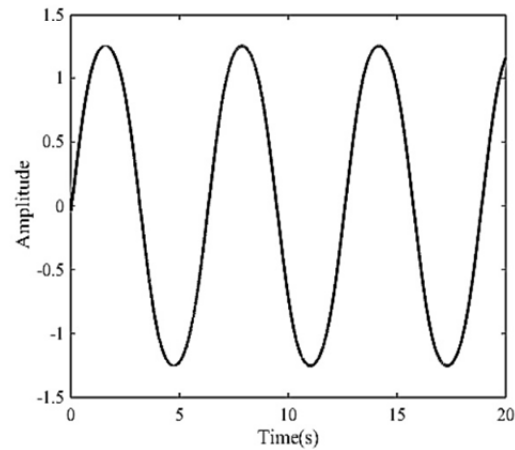
Fig. 10 E_1 , E_2 , and E_3 are tracking error of $v(k)$, PID, and sliding mode controller, respectively.

شکل 10 E_1 و E_2 به ترتیب خطای ردیابی کنترل کننده‌های PID و $v(k)$ و E_3 به ترتیب خطای ردیابی کنترل کننده‌های PID و مدل‌لغزشی

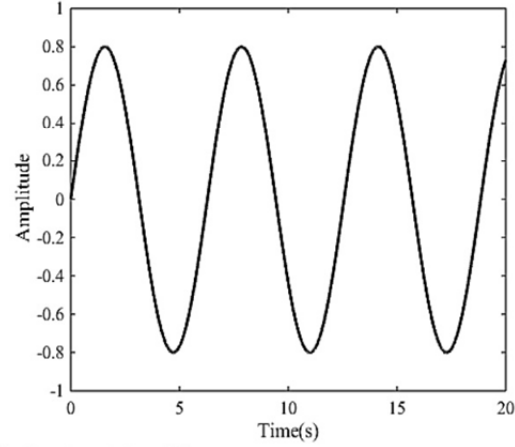
همان‌طور که در "شکل‌های 9 و 10" نشان داده می‌شود دقت ردیابی در روش مقاله تقریباً ده برابر بیشتر از روش PID می‌باشد. همچنین مشاهده می‌شود عمل ردیابی در کنترل کننده مدل‌لغزشی انجام نمی‌گیرد، بنابراین می‌توان نتیجه گرفت که روش پیشنهادی، روش مناسب‌تری برای سیستم غیرخطی زمان-گسسته با ورودی لقی (38) می‌باشد. "شکل‌های 14-11" سیگنال کنترل و سیگنال حالت $x_2(k)$ را در روش‌های PID و مدل‌لغزشی نشان می‌دهد.



شکل 6 خط مسیر قانون تطبیق $\hat{\theta}(k)$



شکل 7 خط مسیر قانون تطبیق $\hat{\eta}(k)$



شکل 8 حالت سیستم $x_2(k)$

$x_2(k)$

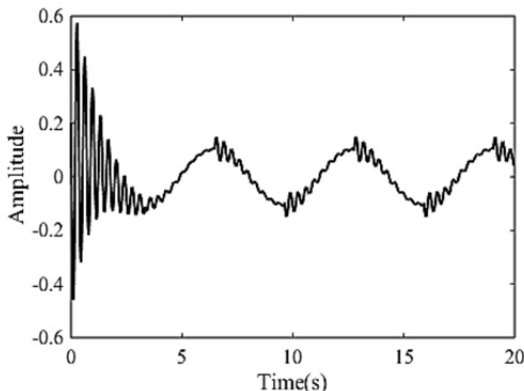
7- مقایسه روش پیشنهادی با دو روش PID و مدل‌لغزشی

در این بخش، به منظور اعتبارسنجی شبیه‌سازی کنترل کننده پیشنهادی، دو کنترل کننده PID¹ و مد لغزشی²، بر سیستم روبات با یک بازوی مکانیکی

³ proportional-integral-derivative

⁴ Sliding mode

¹ proportional-integral-derivative
² Sliding mode

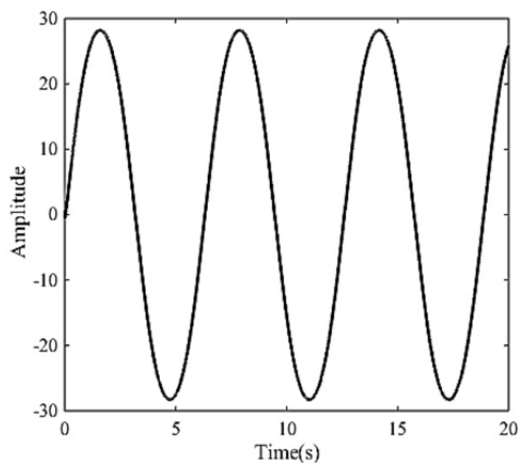


شکل ۱۴ حالت سیستم $x_2(k)$ در کنترل کننده مدل لغزشی

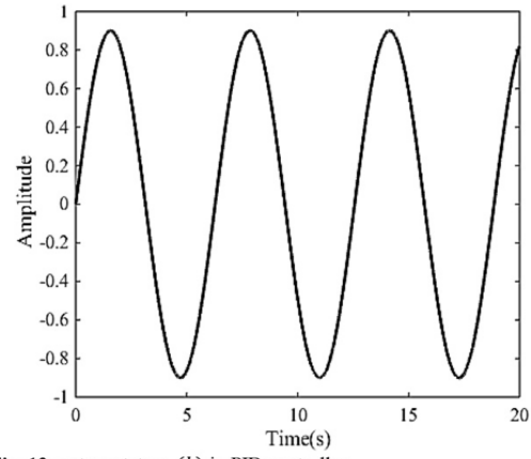
در "اشکال ۱۱-۱۴" مشاهده می‌شود که در هر دو روش PID و مدل لغزشی، سیگنال‌ها در سیستم حلقه بسته کراندار می‌باشند. اغتشاش خارجی می‌باشد. به منظور بررسی اثر کنترل کننده پیشنهادی، این روش بر سیستم روبات با یک بازوی متحرک شبیه‌سازی شده است. همان‌طور که در نتایج مشاهده می‌شود اهداف کنترل کننده برآورده شده است: ۱- تمام سیگنال‌ها در سیستم حلقه بسته کراندار هستند. ۲- خروجی سیستم، سیگنال مرجع را با دقت بالا ردیابی می‌کند و خطای ردیابی به صفر همگرا می‌شود.

۹- مراجع

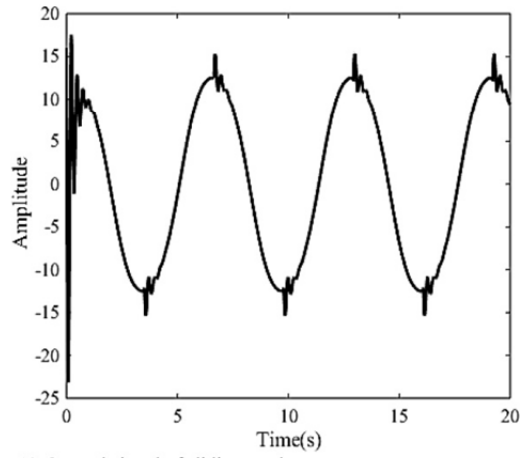
- [1] G. Tao, P. V. Kokotovic, Adaptive control of plants with unknown dead-zones, *IEEE Transactions on Automatic Control*, Vol. 39, No. 1, pp. 59-68, 1994.
- [2] G. Tao, P. V. Kokotovic, *Adaptive Control of Systems with Actuator and Sensor Nonlinearities*, pp. 83-95, New York: John Wiley & Sons, 1996.
- [3] G. Tao, P. V. Kokotovic, Adaptive control of systems with backlash, *Automatica*, Vol. 29, No. 2, pp. 323-335, 1993.
- [4] C.-Y. Su, Y. Stepanenko, J. Svoboda, T.-P. Leung, Robust adaptive control of a class of nonlinear systems with unknown backlash-like hysteresis, *IEEE Transactions on Automatic Control*, Vol. 45, No. 12, pp. 2427-2432, 2000.
- [5] J. Zhou, C. Wen, Y. Zhang, Adaptive backstepping control of a class of uncertain nonlinear systems with unknown backlash-like hysteresis, *IEEE transactions on Automatic Control*, Vol. 49, No. 10, pp. 1751-1759, 2004.
- [6] H. Li, J. Yu, C. Hilton, H. Liu, Adaptive sliding-mode control for nonlinear active suspension vehicle systems using T-S fuzzy approach, *IEEE Transactions on Industrial Electronics*, Vol. 60, No. 8, pp. 3328-3338, 2013.
- [7] M. Chen, S. S. Ge, Direct adaptive neural control for a class of uncertain nonaffine nonlinear systems based on disturbance observer, *IEEE Transactions on Cybernetics*, Vol. 43, No. 4, pp. 1213-1225, 2013.
- [8] D. Li, Adaptive neural network control for a class of continuous stirred tank reactor systems, *Science China Information Sciences*, Vol. 57, No. 10, pp. 1-8, 2014.
- [9] W. Chen, S. Hua, H. Zhang, Consensus-based distributed cooperative learning from closed-loop neural control systems, *IEEE Transactions on Neural Networks and Learning Systems*, Vol. 26, No. 2, pp. 331-345, 2015.
- [10] Y.-J. Liu, N. Zhou, Observer-based adaptive fuzzy-neural control for a class of uncertain nonlinear systems with unknown dead-zone input, *ISA Transactions*, Vol. 49, No. 4, pp. 462-469, 2010.
- [11] Z. Li, C. Yang, Neural-adaptive output feedback control of a class of transportation vehicles based on wheeled inverted pendulum models, *IEEE Transactions on Control Systems Technology*, Vol. 20, No. 6, pp. 1583-1591, 2012.
- [12] C. Yang, Z. Li, J. Li, Trajectory planning and optimized adaptive control for a class of wheeled inverted pendulum vehicle models, *IEEE Transactions on Cybernetics*, Vol. 43, No. 1, pp. 24-36, 2013.
- [13] S. Tong, S. Sui, Y. Li, Observed-based adaptive fuzzy tracking control for switched nonlinear systems with dead-zone, *IEEE Transactions on Cybernetics*, Vol. 45, No. 12, pp. 2816-2826, 2015.
- [14] S. Tong, Y. Li, Adaptive fuzzy output feedback tracking backstepping control of strict-feedback nonlinear systems with unknown dead zones, *IEEE Transactions on Fuzzy Systems*, Vol. 20, No. 1, pp. 168-180, 2012.
- [15] S. Tong, Y. Li, Adaptive fuzzy output feedback control of MIMO nonlinear systems with unknown dead-zone inputs, *IEEE Transactions on Fuzzy Systems*, Vol. 21, No. 1, pp. 134-146, 2013.



شکل ۱۱ سیگنال کنترل PID



شکل ۱۲ حالت سیستم $x_2(k)$ در کنترل کننده PID



شکل ۱۳ سیگنال کنترل مدل لغزشی

۸- نتیجه گیری

در این مقاله برای اولین بار، کنترل تطبیقی ردیابی با استفاده از شبکه عصبی موجک برای نوعی از سیستم‌های غیرخطی زمان گستته مورد بررسی قرار گرفته است. سیستم تحت مطالعه شامل ورودی لقی، توابع ناشناخته و

- [28] C.-K. Lin, Adaptive tracking controller design for robotic systems using Gaussian wavelet networks, *IEE Proceedings-Control Theory and Applications*, Vol. 149, No. 4, pp. 316-322, 2002.
- [29] M. Rahmani, A. Ghanbari, M. M. Etefagh, "Robust adaptive control of a bio-inspired robot manipulator using bat algorithm," *Expert Systems with Applications*, Vol. 56, pp. 164-176, 2016.
- [30] M. Rahmani, A. Ghanbari, M. M. Etefagh, A novel adaptive neural network integral sliding-mode control of a biped robot using bat algorithm, *Journal of Vibration and Control*, pp. 1077546316676734, 2016.
- [31] C. Yang, S. S. Ge, C. Xiang, T. Chai, T. H. Lee, Output feedback NN control for two classes of discrete-time systems with unknown control directions in a unified approach, *IEEE Transactions on Neural Networks*, Vol. 19, No. 11, pp. 1873-1886, 2008.
- [32] S. S. Ge, G. Li, T. H. Lee, Adaptive NN control for a class of strict-feedback discrete-time nonlinear systems, *Automatica*, Vol. 39, No. 5, pp. 807-819, 2003.
- [33] S. S. Ge, C. Yang, T. H. Lee, Adaptive predictive control using neural network for a class of pure-feedback systems in discrete time, *IEEE Transactions on Neural Networks*, Vol. 19, No. 9, pp. 1599-1614, 2008.
- [34] Y. Zhang, T. Chai, H. Wang, J. Fu, L. Zhang, Y. Wang, An adaptive generalized predictive control method for nonlinear systems based on ANFIS and multiple models, *IEEE Transactions on Fuzzy Systems*, Vol. 18, No. 6, pp. 1070-1082, 2010.
- [35] Y. Liu, L. Liu, S. Tong, Adaptive neural network tracking design for a class of uncertain nonlinear discrete-time systems with dead-zone, *Science China Information Sciences*, Vol. 57, No. 3, pp. 1-12, 2014.
- [36] Y.-J. Liu, Y. Gao, S. Tong, Y. Li, Fuzzy approximation-based adaptive backstepping optimal control for a class of nonlinear discrete-time systems with dead-zone, *IEEE Transactions on Fuzzy Systems*, Vol. 24, No. 1, pp. 16-28, 2016.
- [37] C.-L. Hwang, C. Jan, A reinforcement discrete neuro-adaptive control for unknown piezoelectric actuator systems with dominant hysteresis, *IEEE Transactions on Neural networks*, Vol. 14, No. 1, pp. 66-78, 2003.
- [38] J. O. Jang, H. T. Chung, I. S. Lee, Backlash compensation of discrete time systems using fuzzy logic, in Decision and Control, *Proceedings of the 40th IEEE Conference on*, 2001, Vol. 4, pp. 3956-3961: IEEE, 2001.
- [39] Y.-J. Liu and S. Tong, Adaptive fuzzy control for a class of nonlinear discrete-time systems with backlash, *IEEE Transactions on Fuzzy Systems*, Vol. 22, No. 5, pp. 1359-1365, 2014.
- [40] M. Chen, S.S. Ge, B.V. E. How, Robust adaptive neural network control for a class of uncertain MIMO nonlinear systems with input nonlinearities, *IEEE Transactions on Neural Networks*, Vol. 21, No. 5, pp. 796-812, 2010.
- [41] M. Chen, S.S. Ge, B. Ren, Adaptive tracking control of uncertain MIMO nonlinear systems with input constraints, *Automatica*, Vol. 47, No. 3, pp. 452-465, 2011.
- [42] H. Wang, B. Chen, X. Liu, K. Liu, C. Lin, Robust adaptive fuzzy tracking control for pure-feedback stochastic nonlinear systems with input constraints, *IEEE Transactions on Cybernetics*, Vol. 43, No. 6, pp. 2093-2104, 2013.
- [43] Y. Liu, Y. Lin, Global adaptive output feedback tracking for a class of nonlinear systems with unknown backlash-like hysteresis, *IET Control Theory & Applications*, Vol. 8, No. 11, pp. 927-936, 2014.
- [44] A. Boulkroune, M. M'Saad, M. Tadjine, M. Farza, Adaptive fuzzy control of MIMO nonlinear systems with unknown hysteresis and control gain matrix sign, In Control and Automation, *16th Mediterranean Conference on IEEE*, pp. 380-385, 2008.
- [45] F. Wang, Z. Liu, Y. Zhang, C. P. Chen, Adaptive fuzzy control for a class of stochastic pure-feedback nonlinear systems with unknown hysteresis, *IEEE Transactions on Fuzzy Systems*, Vol. 24, No. 1, pp. 140-152, 2016.
- [46] Z. Liu, X. Dong, J. Xue, Y. Chen, Adaptive neural control for a class of time-delay systems in the presence of backlash or dead-zone non-linearity, *IET Control Theory & Applications*, Vol. 8, No. 11, pp. 1009-1022, 2014.
- [47] G. Lai, Z. Liu, Y. Zhang, C. P. Chen, Adaptive fuzzy tracking control of nonlinear systems with asymmetric actuator backlash based on a new smooth inverse, *IEEE Transactions on Cybernetics*, Vol. 46, No. 6, pp. 1250-1262, 2016.
- [48] D. Lin, H. Liu, H. Song, F. Zhang, Fuzzy neural control of uncertain chaotic systems with backlash nonlinearity, *International Journal of Machine Learning and Cybernetics*, Vol. 5, No. 5, pp. 721-728, 2014.
- [49] Z. Liu, C. Chen, Y. Zhang, Decentralized robust fuzzy adaptive control of humanoid robot manipulation with unknown actuator backlash, *IEEE Transactions on Fuzzy Systems*, Vol. 23, No. 3, pp. 605-616, 2015.
- [50] W. He, A. O. David, Z. Yin, C. Sun, Neural network control of a robotic manipulator with input deadzone and output constraint, *IEEE Transactions on Systems, Man, and Cybernetics: Systems*, Vol. 46, No. 6, pp. 759-770, 2016.
- [51] A. K. Alexandridis, A. D. Zapranis, *Wavelet Neural Networks: With Applications in Financial Engineering, Chaos, and Classification*, pp. 62-65, New Jersey: John Wiley & Sons, 2014.